



---

# Approximation polynomiale de la densité de probabilité

Applications en assurance

P.O. Goffard

Axa France - Institut de Mathématiques de Marseille I2M  
Aix-Marseille Université

Soutenance de thèse de doctorat

# Contenu de la thèse

---

- Chap. 1: Motivations et applications des méthodes numériques en assurance.
- Chap. 2: Description de la méthode d'approximation polynomiale.
- Chap. 3: Application de la méthode d'approximation polynomiale à l'évaluation des probabilités de ruine ultime dans le modèle de ruine de Poisson composé.
- Chap. 4: Application de la méthode d'approximation polynomiale aux modèles collectifs multivariés: Exemple d'application en réassurance.
- Chap. 5: Optimisation de l'agrégation des portefeuilles de contrats d'assurance vie individuel de type épargne.

## Le modèle collectif

Soit un portefeuille de contrats d'assurance non-vie.

- ▶ Sur une période d'exercice donnée,
  - ↪ Le nombre de sinistres est modélisé par une variable aléatoire de comptage  $N$ ,
  - ↪ Les montants indemnisés forment une suite de variables aléatoires positives, indépendantes et identiquement distribuées  $(U_i)_{i \in \mathbb{N}}$ .
- ▶ Les engagements de l'assureur sont modélisés par

$$X = \sum_{i=1}^N U_i,$$

↪ la suite  $\{U_i\}_{i \in \mathbb{N}}$  est indépendante de  $N$ .

$X$  admet une distribution de probabilité composée.

# La dépendance des risques: Le modèle collectif multivarié

Soit  $n$  portefeuilles de contrats d'assurance non vie,

- ▶ Les risques sont modélisés **conjointement** via

$$\begin{pmatrix} X_1 \\ \vdots \\ X_n \end{pmatrix} = \begin{pmatrix} \sum_{j=1}^{N_1} U_{1j} \\ \vdots \\ \sum_{j=1}^{N_n} U_{nj} \end{pmatrix} + \sum_{j=1}^M \begin{pmatrix} V_{1j} \\ \vdots \\ V_{nj} \end{pmatrix},$$

- ↪  $\mathbf{N} = (N_1, \dots, N_n)$  est un vecteur composé de variables aléatoire de comptage,
- ↪  $(U_{1j})_{j \in \mathbb{N}}, \dots, (U_{nj})_{j \in \mathbb{N}}$  sont des suites de variables aléatoires positives, et **i.i.d.**
- ↪  $\{\mathbf{V}_i\}_{i \in \mathbb{N}} = \{(V_{1i}, \dots, V_{ni})\}_{i \in \mathbb{N}}$  est une suite de vecteur aléatoire **i.i.d.**,
- ↪  $M$  est une variable aléatoire de comptage,
- ↪  $\{\mathbf{V}_i\}_{i \in \mathbb{N}}$ ,  $\mathbf{N}$ ,  $M$  et  $(U_{j1})_{j \in \mathbb{N}}, \dots, (U_{jn})_{j \in \mathbb{N}}$ , sont indépendants.

# La théorie de la ruine: Une modélisation dynamique

Soit un portefeuille de contrats d'assurance non-vie.

- ▶ soit un instant  $t \geq 0$ ,
  - ↪ Le nombre de sinistres est modélisé par un processus stochastique de comptage  $\{N_t\}_{t \geq 0}$ ,
  - ↪ Les montants indemnisés forment une suite de variables aléatoires positives, indépendantes et identiquement distribuées  $(U_i)_{i \in \mathbb{N}}$ .
- ▶ Les engagements de l'assureur à l'instant  $t$  sont égaux à

$$X_t = \sum_{i=1}^{N_t} U_i,$$

↪ la suite  $(U_i)_{i \in \mathbb{N}}$  est indépendante du processus  $\{N_t\}_{t \geq 0}$ .

# La théorie de la ruine: Une modélisation dynamique

Soit un portefeuille de contrats d'assurance non-vie.

- ▶ La réserve financière allouée au portefeuille de contrats est donnée par

$$R_t = u + ct - \sum_{i=1}^{N_t} U_i,$$

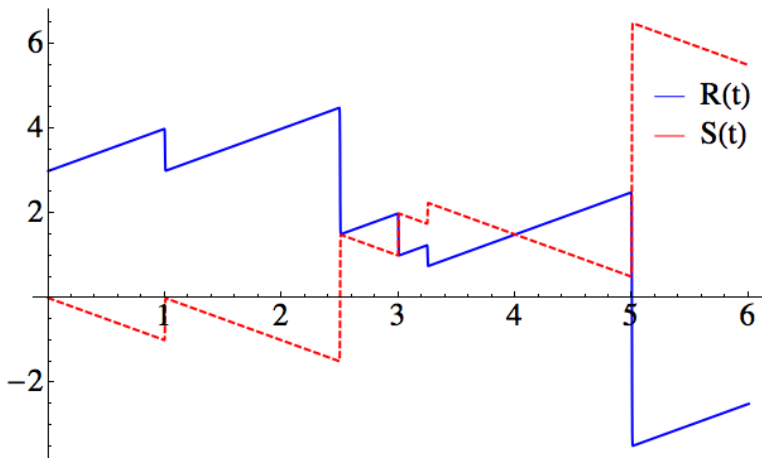
↪  $u$  est la réserve initiale,

↪  $c$  est le montant des primes reçues par unité de temps.

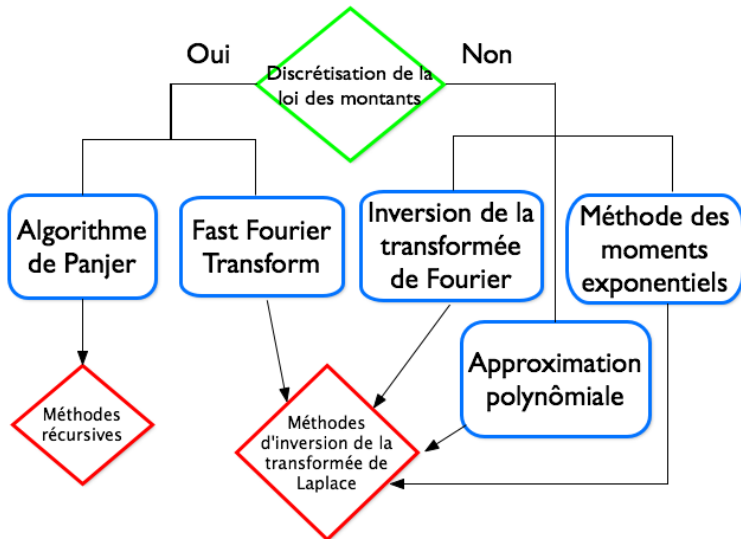
- ▶ Le processus d'excédent de sinistre est défini par

$$S_t = u - R_t.$$

# La théorie de la ruine: Une visualisation graphique



# Méthodes numériques: Cartographie



# EXECUTIVE SUMMARY

Application de la m thode d'approximation polynomiale   deux probl mes.

1.  valuation de la probabilit  de ruine ultime dans le mod le de ruine de Poisson compos .  
     $\hookrightarrow \{N_t\}_{t \geq 0}$  est un processus de Poisson simple d'intensit   $\lambda$ .
2.  tude d'un mod le collectif bivari  et application dans un contexte de r assurance.

- ▶ Probabilité de ruine à horizon de temps infini,

$$\psi(u) = \mathbb{P} \left( \inf_{t \geq 0} R_t < 0; R_0 = u \right).$$

- ▶ Probabilité de ruine à horizon de temps fini,

$$\psi(u, T) = \mathbb{P} \left( \inf_{t \in [0, T]} R_t < 0; R_0 = u \right).$$

- ▶ Probabilité de non ruine à horizon de temps fini et infini ,

$$\phi(u) = 1 - \psi(u) \quad \phi(u, T) = 1 - \psi(u, T).$$

# Définition alternative de la probabilité de ruine

- ▶ Instant de ruine et maximum du processus de surplus,

$$\tau_u = \inf\{t \geq 0 : R_t < 0\} = \inf\{t \geq 0 : S_t > u\},$$

$$M = \sup_{t \geq 0} S_t, \quad M_T = \sup_{t \in [0, T]} S_t.$$

- ▶ Probabilité de ruine à horizon de temps fini et infini,

$$\psi(u) = \mathbb{P}(\tau_u < \infty) = \mathbb{P}(M > u),$$

$$\psi(u, T) = \mathbb{P}(\tau_u < T) = \mathbb{P}(M_T > u).$$

# Le chargement de sécurité

Le coût moyen des sinistres par unité de temps est

$$\frac{1}{t} \mathbb{E}(X_t) = \lambda \mathbb{E}(U).$$

- ▶ Le chargement de sécurité  $\eta$  est défini par,

$$c = (1 + \eta) \lambda \mathbb{E}(U).$$

- ▶ *Net Benefit Condition*

$$\eta > 0,$$

↪ Si  $\eta < 0$  alors  $\psi(u) = 1$ ,

↪ Si  $\eta > 0$  alors  $\psi(u) < 1$ .

# Probabilité de ruine ultime: La formule de Pollaczek-Khinchine

Dans le cadre du modèle de ruine de Poisson composé,

$$\psi(u) = \mathbb{P}(M > u) \quad M \stackrel{D}{=} \sum_{i=1}^N V_i,$$

- ▶  $N$  suit une loi géométrique de paramètre  $p = \frac{\lambda E(U)}{c} < 1$ ,

$$\mathbb{P}(N = n) = (1 - p)p^n.$$

- ▶  $(V_i)_{i \in \mathbb{N}^*}$  est une suite de variables aléatoires positives, **i.i.d.** de densité,

$$f_V(x) = \frac{\mathbb{P}(U > x)}{\mathbb{E}(U)}.$$

- ▶  $(V_i)_{i \in \mathbb{N}^*}$  et  $N$  sont indépendantes.

## Produit de convolution

- ▶ Soit  $U$  et  $V$  deux variables aléatoires indépendantes de densité  $f_U$  et  $f_V$ ,

$$\begin{aligned}f_{U+V}(x) &= \int f_U(x-y)f_V(y)dy, \\ &= (f_U * f_V)(x).\end{aligned}$$

↪ Produit de convolution de  $f_U$  et  $f_V$ .

- ▶ Soit  $S = \sum_{i=1}^n U_i$ , la somme de  $n$  variables aléatoires **i.i.d.**,

$$\begin{aligned}f_S(x) &= \int \int \dots \int f_U(x-y)f_U(y)dy, \\ &= f_U^{(*n)}(x).\end{aligned}$$

↪  $f_U$  convoluée  $n$  fois avec elle même.

La transformée de Laplace d'une variable aléatoire est définie par,

$$\mathcal{L}_U(s) = E(e^{sU}) = \int e^{sx} f_U(x) d\lambda(x).$$

Ce qui donne pour la somme de variables aléatoires indépendantes:

$$\mathcal{L}_{U+V}(s) = \mathcal{L}_U(s) \times \mathcal{L}_V(s),$$

$$\mathcal{L}_S(s) = [\mathcal{L}_U(s)]^n.$$

# Distribution géométrique composée

- La variable aléatoire  $M = \sum_{i=1}^N U_i$  admet une distribution composée,

$$d\mathbb{P}_M(x) = \mathbb{P}(N = 0)\delta_0(x) + dG_M(x),$$

où

$$\begin{aligned} g_M(x) &= \sum_{n=1}^{+\infty} \mathbb{P}(N = n) f_V^{(*n)}(x) \\ &= \sum_{n=1}^{+\infty} (1-p)p^n \int \int \dots \int f_V(x-y) f_V(y) dy, \end{aligned}$$

et

$$\begin{aligned} \psi(u) &= \mathbb{P}(M > u) \\ &= \int_u^{+\infty} \sum_{n=0}^{+\infty} (1-p)p^n \int \int \dots \int f_V(x-y) f_V(y) dy dx. \end{aligned}$$

# Transformée de Laplace de la probabilité de ruine

La transformée de Laplace de  $M$  est donnée par,

$$\mathcal{L}_M(s) = \mathcal{G}_N[\mathcal{L}_V(s)].$$

- ▶  $\mathcal{G}_N$  est la fonction génératrice des probabilités de  $N$ ,

$$\mathcal{G}_N(s) = \mathbb{E}(s^N) = \sum_{k=0}^{+\infty} (1-p)p^k s^k$$

Ce qui implique que

$$\mathcal{L}_M(s) = \frac{1-p}{1-p\mathcal{L}_V(s)},$$

puis

$$\mathcal{L}_\psi(s) = \frac{1}{s} [1 + \mathcal{L}_M(s)].$$

# Méthode d'approximation polynomiale en dimension 1

Soit  $X$  une variable aléatoire de loi de probabilité  $\mathbb{P}_X$ , de densité  $f_X$ .

- ▶  $\nu$  est la mesure de probabilité de référence, de densité  $f_\nu$ .  
↳ La loi de  $X$  est absolument continue par rapport à la mesure de référence,

$$f_{X,\nu}(x) = \frac{d\mathbb{P}_X}{d\nu}(x).$$

- ▶  $\{Q_k\}_{k \in \mathbb{N}}$  forme un système de polynômes orthonormaux par rapport à  $\nu$ ,

$$\langle Q_k, Q_l \rangle = \int Q_k(x) Q_l(x) d\nu(x) = \delta_{kl}, \quad k, l \in \mathbb{N}.$$

L'idée est de projeter  $f_{X,\nu}$  sur la base de polynômes  $\{Q_k\}_{k \in \mathbb{N}}$ .

# Méthode d'approximation polynomiale en dimension 1

- ▶ La mesure de probabilité  $\mathbb{P}_X$  est absolument continue par rapport à la mesure de référence  $\nu$ ,  
↪ Existence de  $\frac{d\mathbb{P}_X}{d\nu}$ .
- ▶ L'ensemble de polynômes est dense dans l'ensemble  $L^2(\nu)$ ,  
↪  $\{Q_k\}_{k \in \mathbb{N}}$  forme une base de  $L^2(\nu)$ .

Si  $\frac{d\mathbb{P}_X}{d\nu} \in L^2(\nu)$ , alors

$$\frac{d\mathbb{P}_X}{d\nu}(x) = \sum_{k=0}^{+\infty} a_k Q_k(x), \quad x \in \mathbb{R},$$

avec

$$a_k = \mathbb{E}[Q_k(X)], \quad \forall k \in \mathbb{N}.$$

# Méthode d'approximation polynomiale en dimension 1

- ▶ La densité de la variable aléatoire  $X$  admet la représentation polynomiale,

$$f_X(x) = f_{X,\nu}(x)f_\nu(x) = \sum_{k=0}^{+\infty} a_k Q_k(x) f_\nu(x).$$

- ▶ L'approximation est obtenue par troncature d'ordre  $K$ ,

$$f_X^K(x) = f_{X,\nu}^K(x)f_\nu(x) = \sum_{k=0}^K a_k Q_k(x) f_\nu(x).$$

Les approximations de la fonction de répartition et de la fonction de survie s'obtiennent par intégration.

# Approximation polynomiale de la probabilité de ruine

La mesure de probabilité associée à  $M = \sum_{i=1}^N V_i$  s'écrit

$$d\mathbb{P}_M(x) = (1 - p)\delta_0(x) + dG_M(x).$$

Si  $\frac{dG_M}{d\nu} \in L^2(\nu)$  alors,

$$\frac{dG_M}{d\nu}(x) = \sum_{k \in \mathbb{N}} \left\langle \frac{dG_M}{d\nu}, Q_k \right\rangle Q_k(x).$$

L'approximation de la probabilité de ruine est obtenue après troncature et intégration,

$$\psi^K(u) = \sum_{k=0}^K \left\langle \frac{dG_M}{d\nu}, Q_k \right\rangle \int_u^{+\infty} Q_k(y) d\nu(y).$$

$d\mathbb{G}_M$  est une mesure de probabilité défailante de support  $\mathbb{R}_+$ .

- ▶ La loi gamma  $\Gamma(m, r)$  admet un support sur  $\mathbb{R}_+$ , sa densité est donnée par

$$d\nu(x) = \frac{x^{r-1} e^{-x/m}}{m^r \Gamma(r)} d\lambda(x)$$

- ▶ Les polynômes orthogonaux par rapport à la mesure gamma sont les polynômes de Laguerre généralisés.

Le choix des paramètres  $m$  et  $r$  est très **important**.

## Théorème

Soit  $X$  variable aléatoire continue, et positive.

**H1** Il existe  $\gamma_X = \inf\{s > 0, \mathcal{L}_X(s) = +\infty\}$ .

**H2** Soit  $a \geq 0$ , l'application  $x \mapsto f_X(x)$  est strictement décroissante pour  $x \geq a$ .

Alors, pour  $x \geq a$ ,

$$f_X(x) < A(s_0)e^{-s_0x}, \quad 0 < s_0 \leq \gamma_X.$$

Dans le cas de la probabilité de ruine, l'hypothèse **H2** est vérifiée, et  $\gamma_M = \inf\{s > 0, \mathcal{L}_{g_M}(s) = +\infty\}$  est solution de l'équation

$$L_V(s) = p^{-1}.$$

# Vérification de la condition d'intégrabilité

La condition d'intégrabilité s'écrit

$$\int \left[ \frac{dG_M}{d\nu}(x) \right]^2 d\nu(x) < +\infty \Leftrightarrow \int_0^{+\infty} g_M^2(x) e^{x/m} x^{1-r} dx < +\infty.$$

Par application de la majoration de  $g_M$ , pour  $s_0 < \gamma_M$ ,

$$\int g_M^2(x) e^{x/m} x^{1-r} dx < A(s_0) \int e^{-x(2s_0 - \frac{1}{m})} x^{1-r} dx.$$

On vérifie la condition d'intégrabilité avec

$$r \in (0, 1], \quad \frac{1}{m} \in (0, 2\gamma_M).$$

## Premier résultat

La perte quadratique suite à l'approximation est donnée par

$$\begin{aligned}L(g_{M,\nu}, g_{M,\nu}^K) &= \int [g_{M,\nu}(x) - g_{M,\nu}^K(x)]^2 d\nu(x) \\ &= \sum_{k=K+1}^{+\infty} a_k^2.\end{aligned}$$

⇒ Lien direct entre la décroissance et la qualité de l'approximation en fonction de l'ordre de troncature.

### Proposition

H1  $x \mapsto g_{M,\nu}(x)$  continue, deux fois dérivable

H2  $g_{M,\nu}, g_{M,\nu}^{(1)}, g_{M,\nu}^{(2)} \in L^2(\nu)$

$$a_k = o\left(\frac{1}{k}\right), \quad k \rightarrow +\infty.$$

## Etude de la fonction génératrice

La densité de probabilité dérivée de  $M$  admet la représentation polynomiale

$$g_M(x) = \sum_{k=0}^{+\infty} a_k Q_k(x) f_\nu(x).$$

En prenant la transformée de Laplace

$$L_{g_M}(s) = \left( \frac{1}{1-sm} \right)^r \mathcal{C} \left( \frac{sm}{1-sm} \right),$$

où  $\mathcal{C}(z) = \sum_{k=0}^{+\infty} a_k c_k z^k$ , avec

$$c_k = \sqrt{\binom{k+r-1}{k}}.$$

## Etude de la fonction génératrice

La fonction génératrice des coefficients s'exprime en fonction de la transformée de Laplace, avec

$$C(z) = (1+z)^{-r} L_{g_M} \left[ \frac{z}{m(1+z)} \right].$$

- ▶ Obtention des coefficients par dérivation et évaluation en 0,

$$a_k = \frac{1}{c_k k!} \left[ C^{(k)}(z) \right]_{z=0}.$$

**NB:** Le choix de  $m$  et  $r$  permet d'altérer la fonction génératrice pour la rendre plus simple.

# Décroissance des $\{a_k\}_{k \in \mathbb{N}}$ : Cas des montants de loi $\Gamma(1, \beta)$

Si  $U_i \sim \Gamma(1, \beta)$ , alors

$$L_{g_M}(s) = \frac{p}{1 + \frac{\beta}{(1-p)}s},$$

et

$$C(z) = \frac{pm(1+z)^{1-r}}{m+z\left(m - \frac{\delta}{1-p}\right)}.$$

►  $m = \frac{\delta}{1-p}$  et  $r = 1$

$$C(z) = p.$$

►  $a_0 = p$ , et  $a_k = 0$  pour  $k \geq 1$ .

## Cas des montants de loi $\Gamma(\alpha, \beta)$

- ▶ Intensité du processus de Poisson:  $\lambda = 1$ ,
- ▶ Montant de sinistres de loi  $\Gamma(2, 1)$ ,
- ▶ Primes périodiques:  $c = 5$ ,
- ▶ Coefficient d'ajustement:  $\gamma_M = \frac{1}{24} \left( 19 - \sqrt{265} \right)$ .

La probabilité de ruine ultime est donnée par

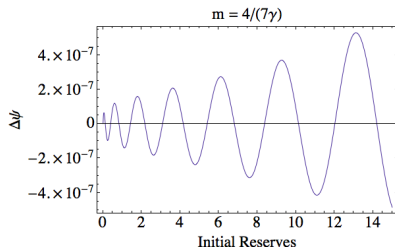
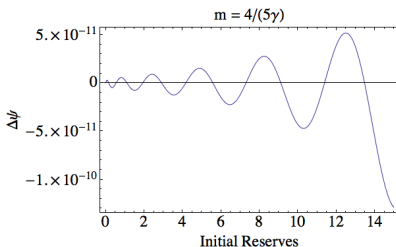
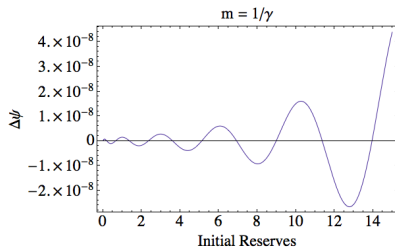
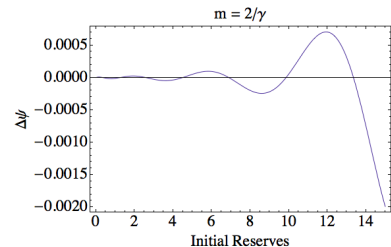
$$\psi(u) = 0.461861e^{-0.441742u} - 0.0618615e^{-1.35826u}.$$

Plusieurs paramétrisations sont testées avec  $K = 40$ .

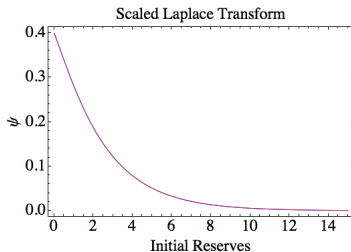
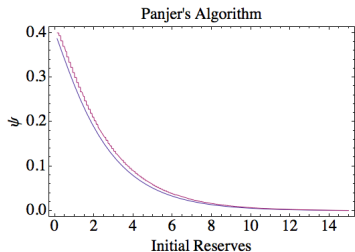
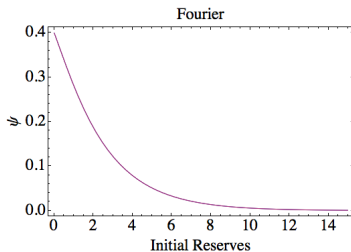
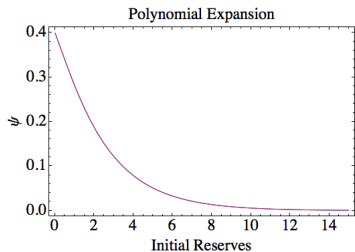
- ▶ La précision est mesurée à l'aide de l'écart relatif,

$$\Delta\psi(u) = \frac{\psi_{Approx}(u) - \psi(u)}{\psi(u)}.$$

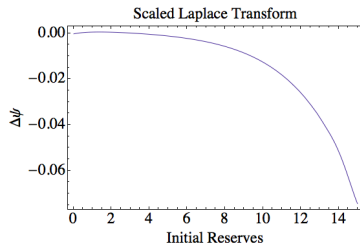
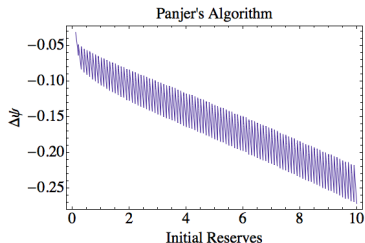
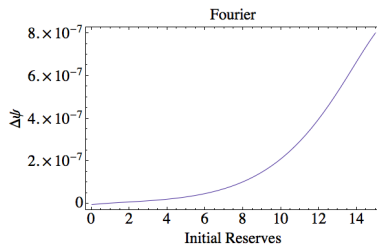
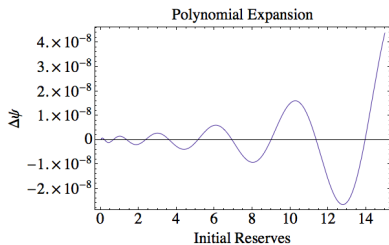
# Illustrations numériques: Cas des montants de loi $\Gamma(\alpha, \beta)$



# Illustrations numériques: Cas des montants de loi $\Gamma(\alpha, \beta)$



# Illustrations numériques: Cas des montants de loi $\Gamma(\alpha, \beta)$



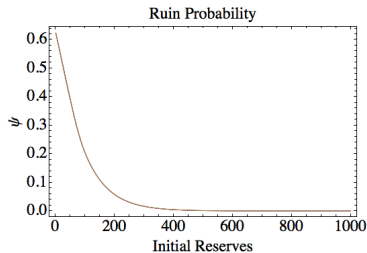
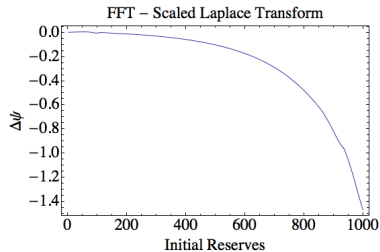
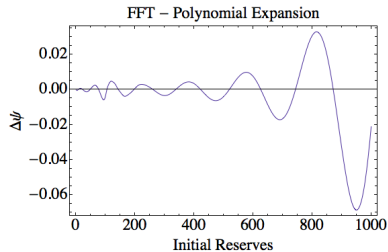
## Cas des montants de loi $\mathcal{U}(\alpha, \beta)$

- ▶ Intensité du processus de Poisson:  $\lambda = 1$ ,
- ▶ Montant de sinistres de loi  $\mathcal{U}(0, 100)$ ,
- ▶ Primes périodiques:  $c = 80$ ,
- ▶ Coefficient d'ajustement:  $\gamma_M = 0.013$ ,
- ▶ Ordre de troncature des polynômes:  $K=40$ .

La probabilité de ruine ultime n'est pas disponible **explicitement**.

- ▶ L'approximation via l'inversion de la transformée de Fourier sert de référence.

## Cas des montants de loi $\mathcal{U}(\alpha, \beta)$



## Modèle collectif bivarié.

Soit 2 portefeuilles de contrats d'assurance non vie associés à la même branche d'activité et appartenant à deux assureurs.

- ▶ Les risques sont modélisés **conjointement** via

$$\begin{pmatrix} X_1 \\ X_2 \end{pmatrix} = \begin{pmatrix} \sum_{j=1}^{N_1} U_{1j} \\ \sum_{j=1}^{N_2} U_{2j} \end{pmatrix} + \sum_{j=1}^M \begin{pmatrix} V_{1j} \\ V_{2j} \end{pmatrix},$$

- ▶  $N_1$  et  $N_2$  sont supposées indépendantes,
- ▶ Approximation polynomiale de la densité jointe du vecteur  $(X_1, X_2)$ .

# Un contrat de réassurance non-proportionnelle global

Le réassureur propose à l'assureur  $i$  un contrat de réassurance non proportionnelle de seuil de **réten**tion  $b_i$  et de **portée**  $c_i$ , pour  $i \in \{1, 2\}$ .

## La loi jointe de $(X_1, X_2)$ est **utile**

- ▶ Tarifier le contrat de réassurance à seuils de réten
tion, et portées fixées.- ▶ L'étude de l'exposition au risque du réassureur modélisé par

$$Z = \min [(X_1 - b_1)_+, c_1] + \min [(X_2 - b_2)_+, c_2],$$

où  $(\cdot)_+$  désigne la partie positive.

↪ **Value-at-Risk** de  $Z$  et marge de solvabilité.

# Méthode d'approximation polynomiale en dimension 2

Soit  $(X_1, X_2)$  un vecteur aléatoire de loi de probabilité  $\mathbb{P}_{X_1, X_2}$ , de densité  $f_{X_1, X_2}$ .

- ▶  $\nu$  est la mesure de probabilité de référence, construite via le produit de deux mesures,

$$\nu(x_1, x_2) = \nu_1(x_1) \times \nu_2(x_2),$$

$$f_\nu(x_1, x_2) = f_{\nu_1}(x_1) \times f_{\nu_2}(x_2).$$

- ▶  $\{Q_k^{\nu_i}\}_{k \in \mathbb{N}}$  forme un système orthonormal de polynômes par rapport à  $\nu_i$ , pour  $i \in \{1, 2\}$ .
- ▶  $\{Q_{k,l}\}_{k,l \in \mathbb{N}}$  forme un système orthonormale de polynômes par rapport à  $\nu$ , avec

$$Q_{k,l}(x_1, x_2) = Q_k^{\nu_1}(x_1) Q_l^{\nu_2}(x_2), \quad k, l \in \mathbb{N}.$$

# Méthode d'approximation polynomiale en dimension 2

La méthode d'approximation polynomiale s'étend naturellement en dimension supérieure:

- ▶ Valide sous réserve de vérifier une condition d'intégrabilité.
- ▶ Borne exponentielle pour la densité jointe, et choix *ad hoc* des paramètres de la mesure de référence.
- ▶ Lien entre la transformée de Laplace multivariée, et la fonction génératrice des coefficients de la représentation polynomiale.

La distribution de probabilité du vecteur aléatoire

$$\begin{aligned} \begin{pmatrix} X_1 \\ X_2 \end{pmatrix} &= \begin{pmatrix} \sum_{j=1}^{N_1} U_{1j} \\ \sum_{j=1}^{N_2} U_{2j} \end{pmatrix} + \sum_{j=1}^M \begin{pmatrix} V_{1j} \\ V_{2j} \end{pmatrix} \\ &= \begin{pmatrix} W_1 \\ W_2 \end{pmatrix} + \begin{pmatrix} Y_1 \\ Y_2 \end{pmatrix}, \end{aligned}$$

admet de nombreuses singularités.

- ▶ La distribution de  $\begin{pmatrix} W_1 \\ W_2 \end{pmatrix} = \begin{pmatrix} \sum_{j=1}^{N_1} U_{1j} \\ \sum_{j=1}^{N_2} U_{2j} \end{pmatrix}$ , est donnée par

$$\begin{aligned} d\mathbb{P}_{W_1, W_2}(w_1, w_2) &= f_{N_1}(0)f_{N_2}(0)\delta_{0,0}(w_1, w_2) \\ &+ d\mathbb{G}_{W_1}(w_1) \times d\mathbb{G}_{W_2}(w_2) \\ &+ f_{N_1}(0)d\mathbb{G}_{W_2}(w_2) \times \delta_0(w_1) \\ &+ f_{N_2}(0)d\mathbb{G}_{W_1}(w_1) \times \delta_0(w_2). \end{aligned}$$

- ▶ Approximation polynomiale univariée de  $\mathbb{G}_{W_i}$ , pour  $i = 1, 2$ .
  - ↪ Mesure de référence gamma et polynômes de Laguerre généralisés.

# Choix de la mesure de référence

- ▶ La distribution de  $\begin{pmatrix} Y_1 \\ Y_2 \end{pmatrix} = \sum_{j=1}^M \begin{pmatrix} V_{1j} \\ V_{2j} \end{pmatrix}$ , est donnée par

$$d\mathbb{P}_{Y_1, Y_2}(y_1, y_2) = f_M(\mathbf{0})\delta_{0,0}(y_1, y_2) + d\mathbb{G}_{Y_1, Y_2}(y_1, y_2).$$

$d\mathbb{G}_{Y_1, Y_2}$  est une mesure de probabilité défailante de support  $\mathbb{R}_+^2$ .

- ▶ La mesure  $\nu$  est définie par le produit de deux mesures gamma.
  - ↪  $\nu_i$  est une mesure  $\Gamma(m_i, r_i)$ , pour  $i = 1, 2$ .
  - ↪  $\{Q_k^{\nu_i}\}_{k \in \mathbb{N}}$  est une suite de polynômes de Laguerre généralisés, pour  $i = 1, 2$ .

## Fonction de survie de $(Y_1, Y_2)$

- ▶  $M$  est de loi géométrique  $\mathcal{NB}(1, 3/4)$ ,
- ▶  $(V_1, V_2)$  est de loi exponentielle bivariée  $DBVE(\rho, \mu_1, \mu_2)$ ,
  - ↳  $\rho = \frac{1}{4}$ ,
  - ↳  $\mu_1 = \mu_2 = 1$ ,
- ▶ L'approximation polynomiale est comparée à des approximations de Monte-Carlo.

La paramétrisation

$$m_1 = \frac{1}{(1-p)\mu_1}, \quad m_2 = \frac{1}{(1-p)\mu_2}, \quad r_1 = r_2 = 1.$$

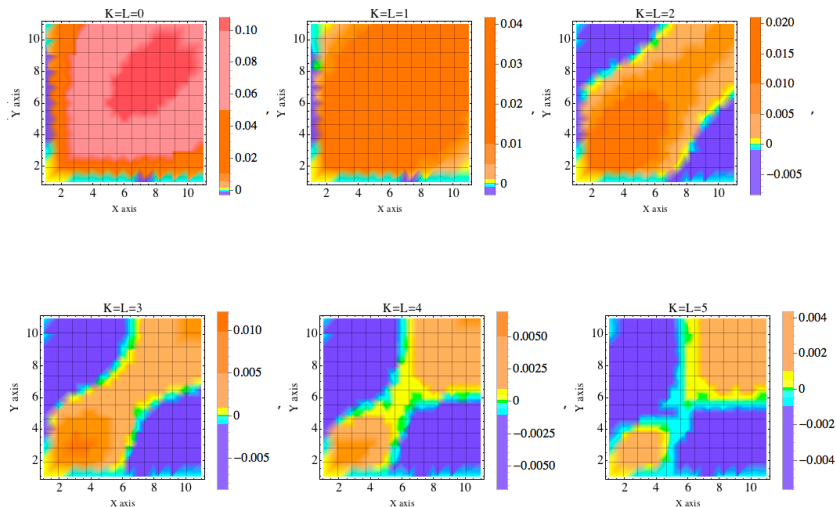
conduit à

$$C(z_1, z_2) = \frac{1}{1 + z_1 z_2 (p^2 - \rho(1-p)^2 - p)},$$

et

$$a_{k,l} = [p^2 - \rho(1-p)^2 - p]^k \delta_{kl}, \quad k, l \in \mathbb{N}.$$

# Illustrations numériques: Fonction de survie de $(Y_1, Y_2)$



# Illustrations numériques:

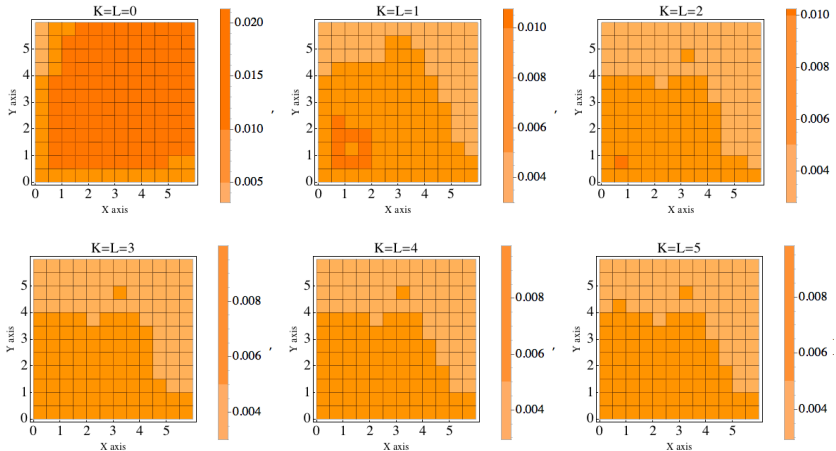
## Distribution de $(X_1, X_2)$

- ▶  $N_1$  et  $N_2$  sont de loi géométrique  $\mathcal{NB}(1, 3/4)$ ,
- ▶  $\{U_{1j}\}_{j \in \mathbb{N}}$  et  $\{U_{2j}\}_{j \in \mathbb{N}}$  sont des suites de variables **i.i.d.** de loi  $\Gamma(1, 1)$ ,
  - ↪ Densité disponible explicitement pour la distribution géométrique composée exponentielle.
- ▶ Approximation de la fonction de survie de  $(X_1, X_2)$ .
- ▶ Seuils de rétention:  $c_1 = c_2 = 1$ ,
- ▶ Portées:  $b_1 = b_2 = 4$ ,
- ▶ Approximation de la fonction de survie de

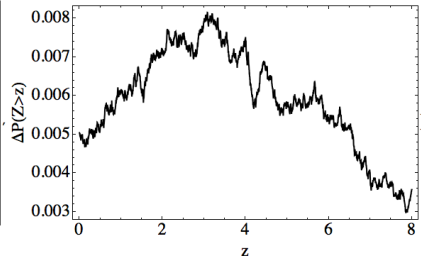
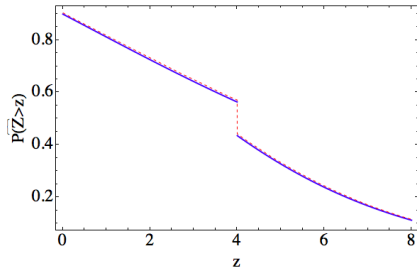
$$Z = \min [(X_1 - b_1)_+, c_1] + \min [(X_2 - b_2)_+, c_2].$$

- ▶ Les approximations polynomiales sont comparées aux approximations de Monte-Carlo.

# Illustrations numériques: Fonction de survie de $(X_1, X_2)$



# Illustrations numériques: Coût de la réassurance



$z$	Monte Carlo approximation	Polynomial approximation
0	0.90385	0.898808
2	0.73193	0.724774
4	0.44237	0.435013
6	0.24296	0.237576

- ▶ La méthode d'approximation polynomiale est une méthode numérique efficace:
  - ↪ Approximation de la probabilité de ruine ultime dans le modèle de ruine de Poisson composée,
  - ↪ Approximation de la densité jointe dans un modèle collectif bivarié avec des applications intéressantes en réassurance.

## Perspectives

- ▶ Applications à l'approximation de fonctions en actuariat et dans d'autres domaines des probabilités appliquées.
- ▶ Applications statistiques lorsque des données sont disponibles,
- ↪ Obtention d'un estimateur semi-paramétrique de la densité de probabilité.

# Mes Publications



Pierre-Olivier Goffard and Xavier Guerrault.

Is it optimal to group policyholders by age, gender, and seniority for BEL computations based on model points?

*European Actuarial Journal*, pages 1–16, 2015.



Pierre-Olivier Goffard, S. Loisel, and D. Pommeret.

Polynomial approximations for bivariate aggregate claim amount probability distributions.

*Working Paper*, 2015.



Pierre-Olivier Goffard, S. Loisel, and D. Pommeret.

A polynomial expansion to approximate the ultimate ruin probability in the compound Poisson ruin model.

*Journal of Computational and Applied Mathematics*, 2015.

# Méthode d'approximation 1: l'algorithme de Panjer

## Famille de Panjer

$N$  admet une distribution de Panjer si

$$f_N(k+1) = \left(a + \frac{b}{k}\right) f_N(k)$$

## Et son algorithme récursif

Si  $U$  admet une loi de probabilité discrète alors  $V$  et  $M$  aussi et

$$f_M(k) = \begin{cases} \mathcal{G}_N(f_U(0)) & \text{si } k = 0 \\ \frac{1}{1-af_V(0)} \sum_{j=1}^k \left(a + \frac{bj}{k}\right) f_V(j) f_M(k-j) & \text{si } k \geq 1 \end{cases}$$

# Méthode d'approximation 2:

## Inversion de Fourier

### Définition de la transformée de Fourier

Soit  $x \mapsto g(x)$  avec  $x \in \mathbb{R}$ , sa transformée de Fourier est donnée par

$$\mathcal{L}_g(is) = \int_0^{+\infty} e^{isx} g(x) dx$$

### Et sa formule d'inversion

Si  $\int_{-\infty}^{+\infty} |\mathcal{L}_g(is)| ds < +\infty$ , et  $g$  fonction continue et bornée alors

$$g(x) = \frac{1}{2\pi} \int_{-\infty}^{+\infty} e^{-isx} \mathcal{L}_g(is) ds$$

# Méthode d'approximation 2: Inversion de Fourier

Soit

$$g(u) = \begin{cases} e^{-ut}\psi(u) & \text{Si } u \geq 0 \\ g(-u) & \text{Si } u < 0 \end{cases}$$

alors

$$\psi(u) = \frac{2e^{ua}}{\pi} \int_0^{+\infty} \cos(uy) \Re [\mathcal{L}_\psi(a + iy)] dy$$

puis

$$\tilde{\psi}(u) = \frac{2e^{ua}}{\pi} h \left\{ \frac{1}{2} \Re [\mathcal{L}_\psi(a)] + \sum_{k=1}^{+\infty} \cos(ukh) \Re [\mathcal{L}_\psi(a + ikh)] \right\}$$

# Méthode d'approximation 3:

## Moments exponentiels

- ▶ Approximation de la fonction de répartition par une binomiale mélange
- ▶  $Y$  une variable aléatoire continue, à valeur sur  $[0, 1]$  et de loi  $\mathbb{P}_Y$ 
  - ↪ Paramètre d'une loi binomial mélange de fonction de répartition

$$\begin{aligned} \mathcal{B}_{n, \mathbb{P}_Y}(y) &= \sum_{k=0}^{\lfloor ny \rfloor} \int_0^1 \binom{n}{k} z^k (1-z)^{n-k} d\mathbb{P}_Y(z) \\ &= \sum_{k=0}^{\lfloor ny \rfloor} \binom{n}{k} \mathbb{E} [Y^k (1-Y)^{n-k}] \\ &= \sum_{k=0}^{\lfloor ny \rfloor} \sum_{j=k}^n \binom{n}{j} \binom{j}{k} (-1)^{j-k} \mathbb{E}(Y^j) \end{aligned}$$

# Méthode d'approximation 3:

## Moments exponentiels

- ▶ La méthode est basée sur le résultat de convergence suivant

$$\int_0^1 \sum_{k=0}^{\lfloor ny \rfloor} \binom{n}{k} z^k (1-z)^{n-k} d\mathbb{P}_Y(z) \rightarrow \int_0^1 \mathbf{1}_{z < y} d\mathbb{P}_Y(z), \quad n \rightarrow +\infty$$

La fonction de répartition est approchée par

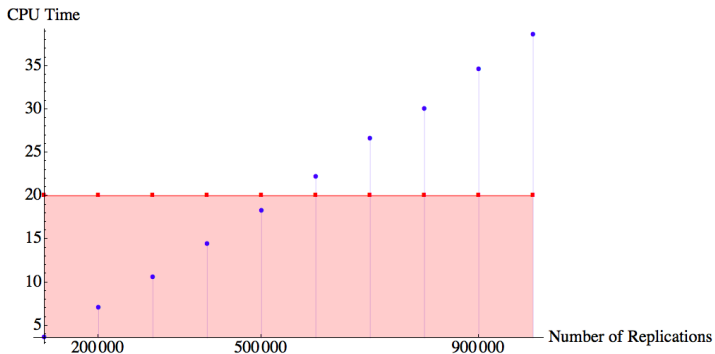
$$F_Y(y) \approx \sum_{k=0}^{\lfloor ny \rfloor} \sum_{j=k}^n \binom{n}{j} \binom{j}{k} (-1)^{j-k} \mathbb{E}(Y^j).$$

- ▶  $X$  variable aléatoire sur  $\mathbb{R}^+$ .
  - ↪ Changement de variable  $Y = e^{-cX}$  avec  $0 < c < 1$ ,

$$\bar{F}_X(x) \approx \sum_{k=0}^{\lfloor ne^{-cx} \rfloor} \sum_{j=k}^n \binom{n}{j} \binom{j}{k} (-1)^{j-k} \mathcal{L}_X(-jc).$$

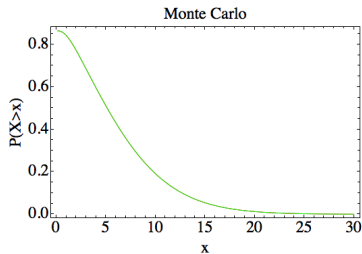
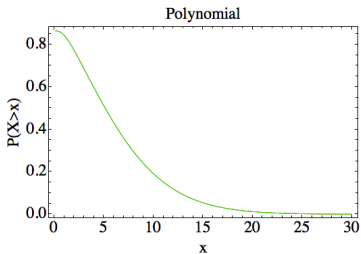
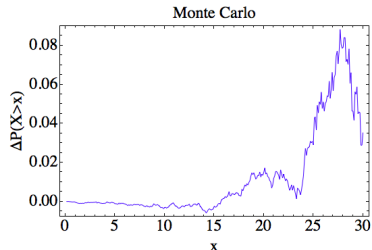
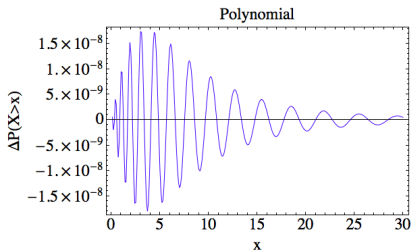
# Comparaison: Monte Carlo VS Polynômes

Exemple: Distribution de Poisson composé  $[\mathcal{P}(2), \Gamma(3, 1)]$ ,



- ▶ Ordre de troncature:  $K=75 \Rightarrow 20$  sec,  
↳ 600 000 simulations de Monte Carlo.

# Comparison: Monte Carlo VS Polynômes



# Application Statistique:

## Définition de l'estimateur

Soit  $X_1, \dots, X_n$  un échantillon de taille  $n$ .

- ▶ L'approximation polynomiale de la densité admet la forme

$$f_X^K(x) = f_{X,\nu}^K(x) f_\nu(x) = \sum_{k=0}^K a_k Q_k(x) f_\nu(x).$$

- ▶ La formule d'approximation se transforme en estimateur de la densité, avec

$$\widehat{f}_X^K(x) = \widehat{f}_{X,\nu}^K(x) \widehat{f}_\nu(x) = \sum_{k=0}^K \widehat{a}_k Q_k(x) \widehat{f}_\nu(x).$$

La procédure d'estimation comprend,

1. une estimation paramétrique de la mesure de référence,
2. une estimation non paramétrique des coefficients de la représentation polynomiale.

# Application Statistique:

## Définition de l'estimateur

L'expression des coefficients de la représentation polynômiale est

$$a_n = \mathbb{E}[Q_k(X)], \quad k \in \mathbb{N}.$$

Un estimateur sans biais de  $a_k$  est donné par

$$Z_k = \frac{1}{n} \sum_{i=1}^n Q_k(X_i), \quad k = 1, \dots, K,$$

sa variance est notée  $\sigma_{k,n}^2 = \mathbb{V}(Z_k)$ .

- ▶ les coefficients de la représentation polynomiale sont estimés par

$$\widehat{a}_k = w_k Z_k,$$

où  $\mathbf{w} = (w_1, \dots, w_K)$  est le modulateur.

↪ Permet une optimisation de l'erreur moyenne quadratique intégrée.

- ▶ Dans la suite  $K = n$ .

L'Erreur Quadratique Moyenne Intégrée est donnée par

$$\begin{aligned}EQMI(\widehat{f_{X,\nu}^n}, f_{X,\nu}^n) &= \mathbb{E} \int \left[ \widehat{f_{X,\nu}^n}(x) - f_{X,\nu}(x) \right]^2 dx \\ &= \sum_{k=1}^n (1 - w_k)^2 a_k^2 + \sum_{k=n+1}^{+\infty} a_k^2 \\ &\quad + \sum_{k=1}^n w_k^2 \sigma_{k,n}^2.\end{aligned}$$

L'Erreur Quadratique Moyenne Intégrée modifiée est optimisée,

$$EQMI(\widehat{f_{X,\nu}^n}, f_{X,\nu}^n) = \sum_{k=1}^n w_k^2 \sigma_{k,n}^2 + \sum_{k=1}^n (1 - w_k)^2 a_k^2.$$

Les quantités  $a_k^2$ , et  $\sigma_{k,n}^2$  sont estimés sans biais via

$$\widehat{\sigma}_{k,n}^2 = \frac{1}{n(n-1)} \sum_{i=1}^n [Q_k(X_i) - Z_k]^2, \quad k = 1, \dots, n,$$

$$\widehat{a}_k^2 = \max(Z_k^2 - \widehat{\sigma}_{k,n}^2, 0), \quad k = 1, \dots, n.$$

L'Erreur Quadratique Moyenne Intégrée est estimée par

$$\widehat{EQMI}(\widehat{f}_{X,\nu}^n, f_{X,\nu}^n) = \sum_{k=1}^n w_k^2 \widehat{\sigma}_{k,n}^2 + \sum_{k=1}^n (1 - w_k)^2 \widehat{a}_k^2.$$

La classe  $\mathcal{M}_{SME}$  désigne les modulateurs de Sélection de Modèle Emboîtés tels que  $\mathbf{w} = (1, \dots, 1, 0, \dots, 0)$ .

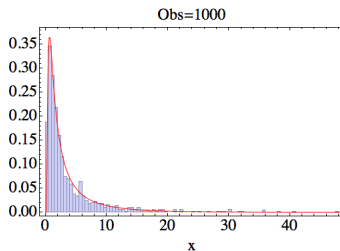
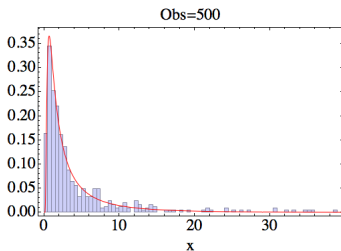
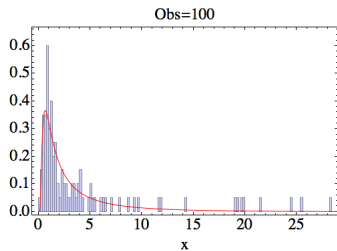
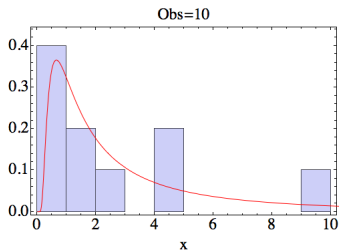
- ▶ Optimisation en calculant l'EQMI  $\forall \mathbf{w} \in \mathcal{M}_{SME}$ .

Illustration: Estimation de la densité d'une distribution *Inverse Gaussian*,  $IG(\lambda, \mu)$ , de densité

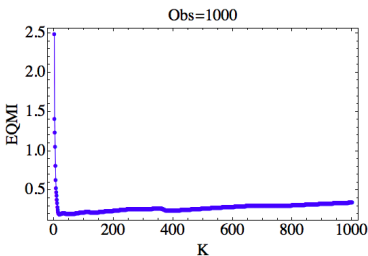
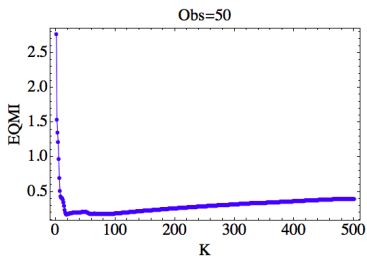
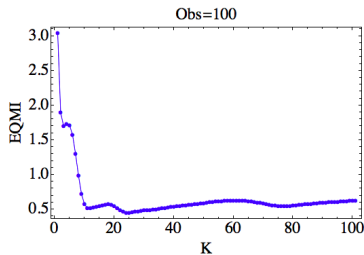
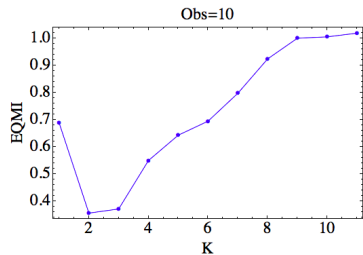
$$f_X(x) = \begin{cases} \frac{\sqrt{\frac{\lambda}{x^3}} e^{-\frac{\lambda(x-\mu)^2}{2\mu^2 x}}}{\sqrt{2\pi}}, & x > 0, \\ 0, & \text{Sinon.} \end{cases}$$

- ▶ Temps de passage à un niveau fixé d'un mouvement brownien avec drift,
- ▶ pour l'exemple  $\lambda = 2$ , et  $\mu = 4$ .

# Application Statistique: Visualisation des données

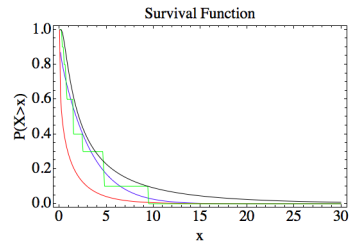
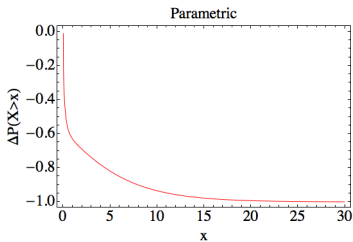
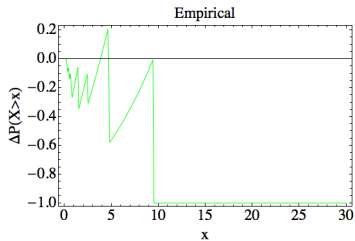
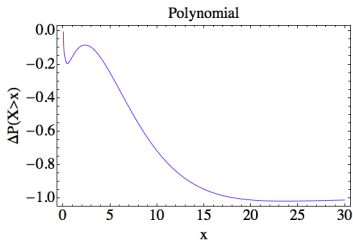


# Application Statistique: EQMI



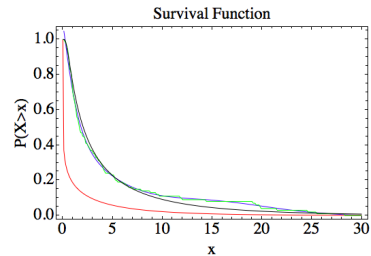
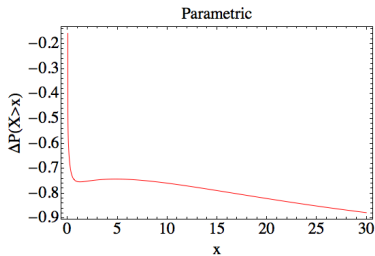
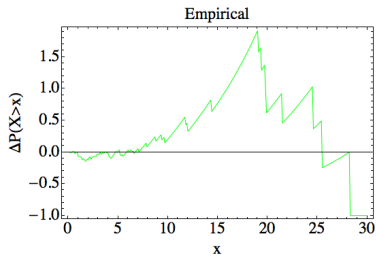
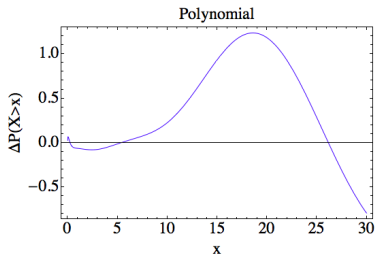
# Application Statistique:

## Obs=10



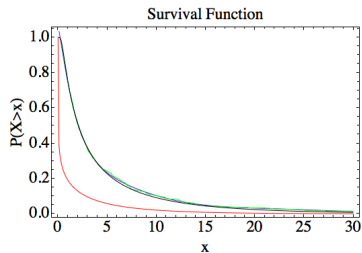
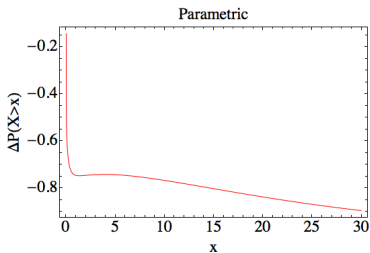
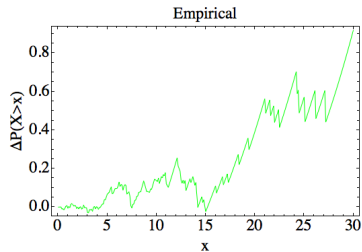
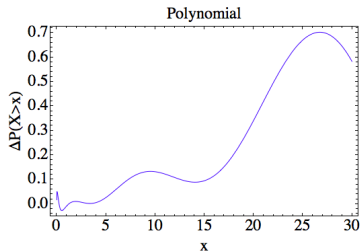
# Application Statistique:

## Obs=100



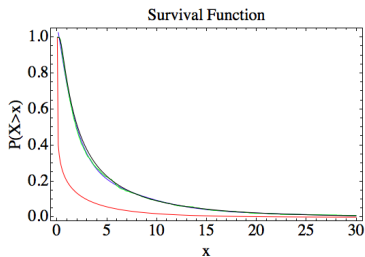
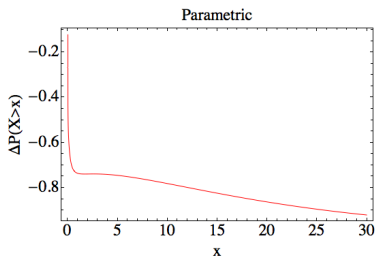
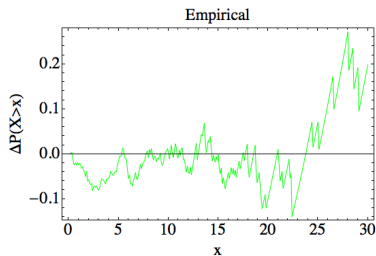
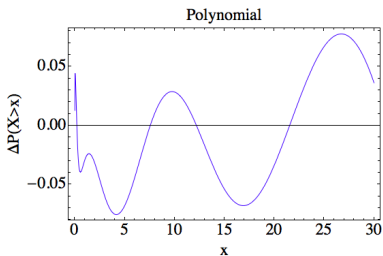
# Application Statistique:

## Obs=500



# Application Statistique:

## Obs=1000



# Application Statistique: Distribution Composé

- ▶ Echantillon de charges totales:  $(X_1, \dots, X_n)$ ,
- ▶ Echantillon de nombre de sinistres:  $(N_1, \dots, N_n)$ ,
- ▶ Echantillon de montants de sinistres:  
 $(U_1, \dots, U_{N_1}, \dots, U_{N_1+\dots+N_n})$ .

La taille de l'échantillon pour les charges totales, et les nombres de sinistres est potentiellement faible.

- ▶ Beaucoup d'observations sont disponibles pour les montants de sinistres.

## Full Parametric

- ▶ Tests d'adéquation pour calibrer la loi des montants et des fréquences,
- ▶ Inférence statistiques de paramètres,
- ▶ Méthode d'approximation.

## Full NonParametric

- ▶ Inférence des paramètres de la mesure de référence,  
↳ Sur la base de quelles observations?
- ▶ Coefficients de la représentation polynomiale estimés à l'aide de  $(X_1, \dots, X_n)$ .

## Semi-Parametric

- ▶ Calibration d'une loi pour la fréquence des sinistres.
- ▶ Inférence des paramètres de la loi pour la fréquence,  
↪ Utilisation de  $(N_1, \dots, N_n)$ .
- ▶ Coefficients de la représentation polynomiale estimés à l'aide de  $(U_1, \dots, U_{N_1}, \dots, U_{N_1+\dots+N_n})$ , et d'une relation de récurrence entre les moments de  $X$ ,  $N$ , et  $U$ .